

О СТАЦИОНАРНОЙ ФИЛЬТРАЦИИ ГАЗОКОНДЕНСАТНЫХ СМЕСЕЙ

*Н. Х. Магеррамов, А. Х. Мирзаджанзаде, В. И. Мотяков,
В. В. Мустафаев*

(Баку)

Исследование стационарной фильтрации газоконденсатных смесей представляет интерес в ряде случаев, в частности для обработки результатов исследования скважин. В литературе обработка результатов исследования газоконденсатных скважин проводится аналогично газовым.

В работе [1] задача о стационарной фильтрации газоконденсатной смеси для случая, когда жидккая фаза также является подвижной, приводится к задаче о фильтрации однородной несжимаемой жидкости при помощи функции

$$H = \int_0^p k_1(s) \rho dp \quad (1)$$

Здесь $k_1(s)$ — относительная фазовая проницаемость для газа, ρ — плотность газа. Объемные расходы газовой фазы Q_1 и жидкой фазы Q_2 газоконденсатной смеси (полагая, что фильтрация каждой из фаз происходит по линейному закону фильтрации) определяются выражениями

$$Q_1 = -\frac{k_1(s) F}{\mu_1} \frac{dp}{dL} \frac{p}{p_0} \quad (2)$$

$$Q_2 = -\frac{k_2(s) F}{\mu_2} \frac{dp}{dL} + Q_1 A (p - p_2) \quad (A = \frac{V_0}{p_1 - p_2}) \quad (3)$$

Здесь $k_2(s)$ — относительная фазовая проницаемость для жидкости, s — насыщенность жидкостью (конденсатом) порового пространства, μ_1, μ_2 — соответственно вязкости газа и жидкости, F — площадь нормального к направлению L сечения пласта, p_2 — давление максимальной конденсации, V_0 — максимальный удельный объем конденсата, p_1 — давление начала конденсации. Газоконденсатный фактор $\Gamma = Q_1 / Q_2$ в условиях установившейся фильтрации постоянен. Разделив (2) на (3), имеем

$$\Gamma = \left[\frac{k_2(s)}{k_1(s)} \frac{\mu_1}{\mu_2} \frac{p_0}{p} + A (p - p_2) \right]^{-1} = \text{const} \quad (4)$$

Для оценки влияния выпадения конденсата на характер индикаторной диаграммы в первом приближении примем

$$k_1(s) = a_1 + b_1 s, \quad k_2(s) = a_2 + b_2 s \quad (5)$$

Подставив (5) в (4) получим уравнение

$$s = \frac{A a_1 p^2 - a_1 (A p_2 + \Gamma^{-1}) p + a_2 b_2 p_0}{-A b_1 p^2 + b_1 (A p_2 + \Gamma^{-1}) p - b_2 b_2 p_0} \quad \left(\frac{b}{\mu_2} = \frac{\mu_1}{\mu_2} \right) \quad (6)$$

Подставим $k_1(s)$ и s согласно (5) и (6) в формулу (1) и внесем вместо плотности ρ ее выражение из уравнения состояния $\rho = p_0 p / p_0$ (движение газа в пористой среде рассматривается как изотермический процесс и газ считается идеальным). В результате получим

$$H = \int_0^p (a_1 + b_1 s) \frac{p_0}{p_0} p dp = \frac{p_0}{p_0} \int_0^p \left[a_1 + b_1 - \frac{A a_1 p^2 - a_1 (A p_2 + \Gamma^{-1}) p + a_2 b_2 p_0}{-A b_1 p^2 + b_1 (A p_2 + \Gamma^{-1}) p - b_2 b_2 p_0} \right] p dp$$

Отсюда

$$H = \frac{p_0 b}{2p_0 A} \frac{(a_1 b_2 - a_2 b_1)}{b_1} \ln \left[\frac{Ab_1 p^2 - b_1 (Ap_2 + \Gamma^{-1}) p}{b_2 b_0} + 1 \right] + \\ + \frac{p_0 b}{2A p_0} (a_1 b_2 - a_2 b_1) \frac{1}{\sqrt{(Ap_2 + \Gamma^{-1})^2 b_1^2 - 4Ab_1 b_2 b_0}} \times \\ \times \ln \frac{[V(Ap_2 + \Gamma^{-1})^2 b_1^2 - 4Ab_1 b_2 b_0] p + 2b_2 b_0}{[V(Ap_2 + \Gamma^{-1})^2 b_1^2 - 4Ab_1 b_2 b_0] p + 2b_2 b_0} \quad (7)$$

Рассмотрим установившуюся плоско-радиальную фильтрацию газоконденсатной смеси к одиночной скважине.

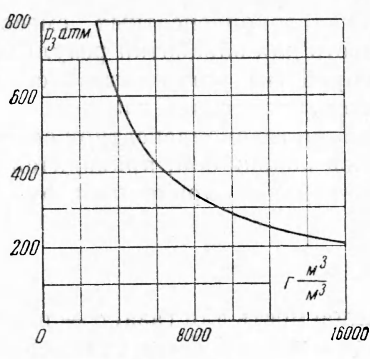
В общем случае область фильтрации будет разделена на две области. В одной с насыщенностью $s \leq 0.2$ будет двигаться чистый газ, в другой с $s \geq 0.2$ газ будет двигаться вместе с жидкостью [1].

Следует отметить, что в области $s \leq 0.2$, строго говоря, стационарная фильтрация не может иметь места. Приводимые ниже расчеты применимы в случаях, когда газоконденсатный фактор больше потенциального газоконденсатного фактора.

Радиус поверхности раздела обозначим через R_1 . При $s = 0.2$ $k_2(s) = 0$. В этом случае выражение (4) примет вид

$$\Gamma = \frac{1}{A(p_3 - p_2)} \quad (8)$$

Фиг. 1



Здесь p_3 — давление на границе раздела областей.

Следовательно, давление на границе раздела областей при данном газоконденсатном факторе Γ будет

$$p_3 = \frac{1}{A\Gamma} + p_2 \quad (9)$$

Для получения качественных выводов примем, что скважины гидродинамически совершенны как по характеру, так и по степени вскрытия.

Весовой расход газа в области $s \geq 0.2$ определится из выражения

$$G_1 = \frac{2\pi k h (H_3 - H_4)}{\mu_1 \ln(R_1 / R_0)} \xi \quad (10)$$

Здесь R_0 — радиус скважины, h — мощность пласта, k — проницаемость пласта, H_3 — функция H на границе раздела областей, H_4 — функция H на забое скважины.

Весовой расход газа в области $s \leq 0.2$ определится из выражения

$$G_1 = \frac{\pi k h \gamma_0 (p_1^2 - p_3^2)}{\mu_1 p_0 \ln(R_2 / R_1)} \quad (11)$$

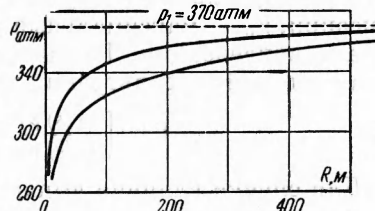
Здесь R_2 — радиус влияния скважины, p_1 — давление на R_2 .

Приравнивая (10) и (11) и решая уравнение относительно R_1 , имеем

$$R_1 = R_0 \left(\frac{R_2}{R_0} \right)^{\frac{1}{\chi}} \left(\chi = \frac{\gamma_0 (p_1^2 - p_3^2)}{2\mu_1 p_0 (H_3 - H_4)} + 1 \right) \quad (12)$$

Расчет дебита при установившейся плоско-радиальной фильтрации газоконденсатных смесей к одиночной скважине можно проводить следующим путем.

Сначала по формуле (9) определяется давление p_3 на поверхности раздела областей. Затем по формуле (7) вычисляются H_4 и H_3 . После этого



Фиг. 2

по формуле (12) определяется R_1 ; и, наконец, по формуле (10) или (11) определяется дебит скважины. Распределение давления в пласте можно определить следующим образом.

Распределение давления в области движения газа ($s \leq 0.2$) определяется по формуле (см., например, [3])

$$p = \sqrt{p_3^2 + \frac{p_1^2 - p_3^2}{\ln(R_2/R_1)} \ln \frac{R}{R_1}} \quad (13)$$

Выражение для функции H в области совместного движения газа и жидкой фазы ($s \geq 0.2$) имеет вид

$$H = H_4 + \frac{H_3 - H_4}{\ln(R_1/R_0)} \ln \frac{R}{R_0} \quad (14)$$

По формуле (7) можно построить для этой области зависимость функции H от давления p .

Воспользовавшись формулой (14) и графиком, построенным по формуле (7), легко можно определить распределение давления в области совместного движения газа и жидкой фазы.

Для иллюстрации применения изложенных методов при решении задач об установившемся движении газоконденсатных смесей в пористой среде рассмотрим конкретные примеры плоско-радиальной фильтрации газоконденсатной смеси к одиночной скважине.

Определим дебиты скважины, распределение давлений в пласте, а также построим индикаторные диаграммы $Q_1 = f(\Delta p^2)$ притока газа к забою скважины для различных газоконденсатных факторов, при следующих условиях¹:

$$\begin{aligned} p_1 &= 370 \text{ атм}, & R_2 &= 1000 \text{ м} \\ 2R_0 &= 8'' = 20 \text{ см}, & h &= 23 \text{ м}, & k &= 0.02 \text{ дарси} \\ \mu_1 &= 0.028 \text{ сн}, & \mu_2 &= 0.75 \text{ сн}, & \rho &= 0.07207 \cdot 10^{-8} \text{ кгсек}^2 / \text{см}^4 \end{aligned}$$

Для газоконденсатных факторов примем следующие значения:

$$\begin{aligned} \Gamma &= 7500, 8000, 9000, 10000 \\ &12000, 15000, 20000, 30000 \text{ м}^3 / \text{м}^3 \end{aligned}$$

Пластовое давление и давление начала конденсации приняты равными.

Согласно исследованиям [2] величина A принимается равной $0.474577 \cdot 10^{-6} \text{ 1/атм}$.

Для относительных фазовых проницаемостей $k_1(s)$ и $k_2(s)$ принимаем

$$k_1(s) = 1.0908 - 1.51515s, \quad k_2(s) = -0.0857143 + 0.42858s$$

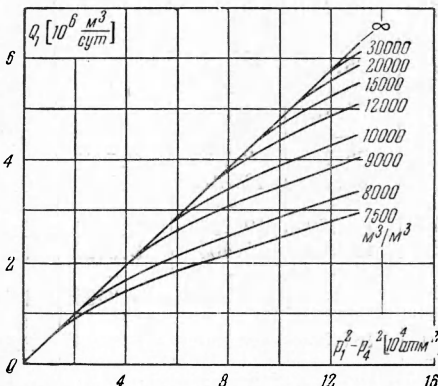
Произведенная замена кривых фазовых проницаемостей прямыми дает погрешность не более 20%.

На фиг. 1 представлен график зависимости p_3 от Γ , построенный по формуле (8). По этому графику можно определить для данных примеров давления на границе областей. В таблице приведены значения R_1 в зависимости от p_4 и Γ .

На фиг. 2 построены кривые распределения давления для значений $\Gamma = 7500 \text{ м}^3/\text{м}^3$ и $\Gamma = \infty$ при $p_1 = 75 \text{ атм}$.

На фиг. 3 приведены рассчитанные вышеупомянутым методом индикаторные диаграммы зависимости дебита газа $Q_1 = Q_1(\Delta p^2)$.

¹ Числовые данные взяты близкими к данным одного из газоконденсатных месторождений Азербайджана.



Фиг. 3

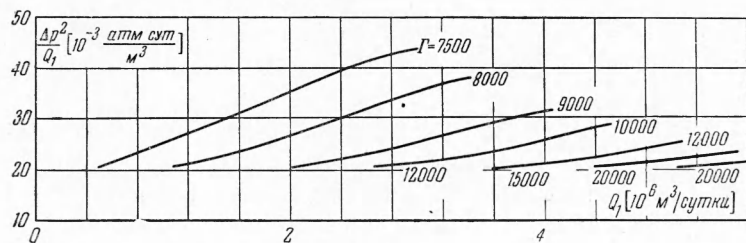
Значения R_1 в м

| p_4 , атм | $\Gamma, \text{м}^3/\text{м}^3$ | | | | | | | |
|-------------|---------------------------------|--------|--------|--------|--------|--------|--------|--------|
| | 7500 | 8000 | 9000 | 10 000 | 12 000 | 15 000 | 20 000 | 30 000 |
| 356 | 0.1 | | | | | | | |
| 340 | 5.5 | | | | | | | |
| 338 | — | 0.1 | | | | | | |
| 320 | 25.69 | 1.2485 | | | | | | |
| 309 | — | — | 0.1 | | | | | |
| 300 | 51.10 | 4.323 | — | | | | | |
| 285 | — | — | — | 0.1 | | | | |
| 280 | 76.75 | 8.7632 | 0.7413 | — | | | | |
| 260 | 99.73 | 13.816 | 1.5116 | 0.4000 | | | | |
| 250 | — | — | — | 0.1 | | | | |
| 240 | 120.00 | 19.125 | 2.4585 | 0.7100 | 0.155 | | | |
| 220 | 138.68 | 24.405 | 3.5120 | 1.1100 | 0.2898 | | | |
| 215 | — | — | — | — | 0.1 | | | |
| 200 | 154.50 | 29.51 | 4.6465 | 1.55 | 0.4497 | 0.150 | | |
| 180 | 168.60 | 34.36 | 5.7352 | 2.07 | 0.6255 | 0.230 | 0.1 | |
| 160 | 181.35 | 38.90 | 6.8339 | 2.46 | 0.8201 | 0.32 | 0.15 | |
| 145 | — | — | — | — | — | — | 0.1 | |
| 140 | 192.50 | 43.07 | 7.8984 | 2.91 | 0.9861 | 0.41 | 0.21 | 0.1092 |
| 120 | 202.20 | 47.012 | 8.9120 | 3.34 | 1.1618 | 0.50 | 0.26 | 0.1451 |
| 100 | 210.86 | 50.52 | 9.8694 | 3.75 | 1.3302 | 0.58 | 0.31 | 0.1788 |
| 75 | 222.84 | 54.36 | 10.892 | 4.25 | 1.5147 | 0.68 | 0.37 | 0.2172 |

(где $\Delta p^2 = p_1^2 - p_4^2$) для газоконденсатных смесей (газоконденсатные факторы указаны на кривых). Отметим, что $\Gamma = \infty$ соответствует движению чистого газа.

Как видно из фиг. 3, с увеличением Γ индикаторная кривая приближается к индикаторной прямой для чисто газовой скважины, что и следовало ожидать.

Из фиг. 3 следует, что с увеличением Δp^2 разность между дебитом газа при заданном газоконденсатном факторе и $\Gamma = \infty$ увеличивается.



Фиг. 4

Данные, приведенные на фиг. 3, указывают на необходимость учета конденсата при обработке индикаторных кривых.

Кривые, приведенные на фиг. 3, построены на фиг. 4 в координатах $\Delta p^2 / Q_1$ и Q_1 . Как видно из фиг. 4, зависимость $\Delta p^2 / Q_1 = f(Q_1)$ в первом приближении может быть принята прямолинейной.

Из фиг. 4 следует, что зависимость между Δp^2 и Q_1 приближенно выражается двухчленной формулой благодаря наличию конденсата.

Поступила 21 VII 1961

ЛИТЕРАТУРА

- М а г е р р а м о в Н. Х., М и р з а д ж а н з а д е А. Х. О фильтрации газоконденсатных смесей в пористой среде. ПММ, 1960, т. XXIV, вып. 6.
- Ф а р з а н е Н. Г. Методика экспериментального исследования поведения газоконденсатных систем на аппаратуре РУТ. Тр. АзИИ им. Азизбекова, Баку, 1957, вып. XIX.
- Щ е л к а ч е в В. Н., Л а п у к Б. Б. Подземная гидравлика. Гостоптехиздат, 1949.